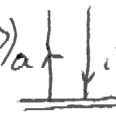


• Diagramok

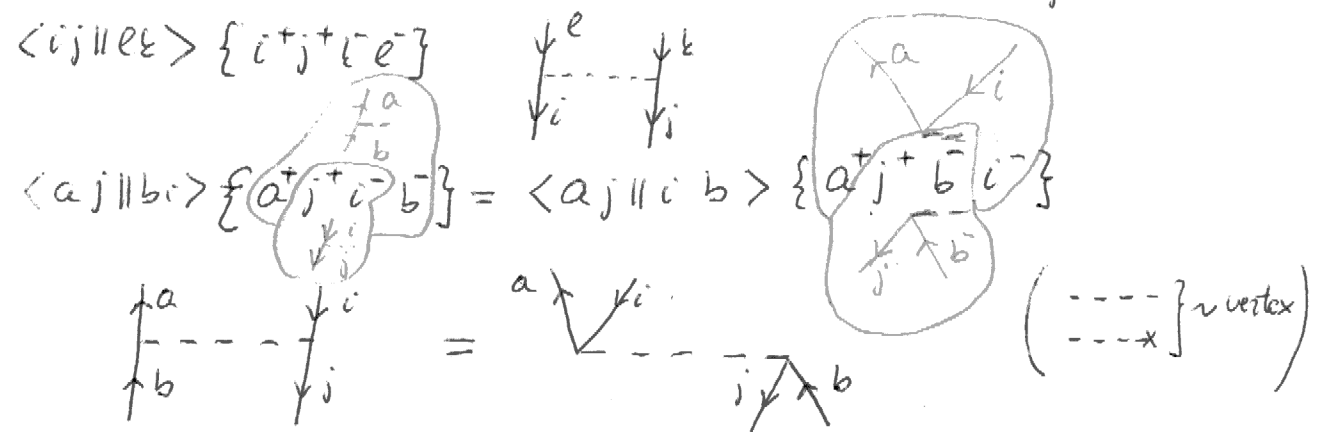
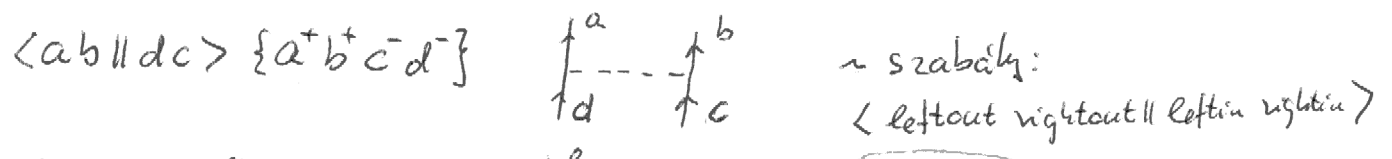
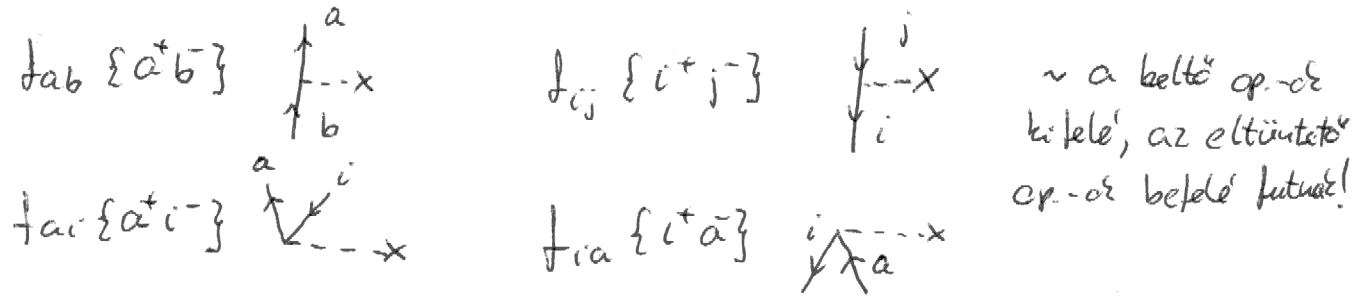
- Lyukak és részecskék

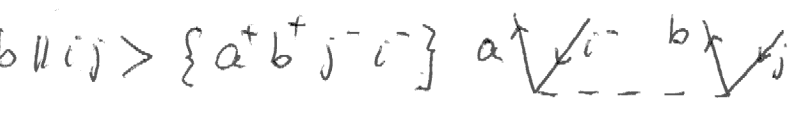
$|\Phi_i^a\rangle = \{a^+i^-\} |0\rangle (= a^+i^-|0\rangle)$  $\{a^+i^-\} |0\rangle \sim$ részecske-lyuk pár

\uparrow : virtuális $|0\rangle \sim$ Fermi-vákuum

\downarrow : betöltött

- a \hat{H}_0 diagramok (antiszimmetrikus Goldstone-diagramok)



$\langle ab || ij \rangle \{a^+b^+j^-i^-\}$ 

stb. ...

- példa: $\hat{F}_0 |\Phi_i^a\rangle = \sum_{pq} t_{pq} \{p^+q^-\} \{a^+i^-\} |0\rangle =$

$\sum_{b,j} \{ \text{Diagram 1} \} + \sum_b \{ \text{Diagram 2} \} + \sum_j \{ \text{Diagram 3} \} + \{ \text{Diagram 4} \} =$

$\left\{ \sum_{b,j} t_{bj} \{b^+a^+i^-\} + \sum_b t_{ba} \{b^+i^-\} + \sum_j t_{ij} \{a^+j^-\} + t_{ai} \right\} |0\rangle$

• Many-Body PT (MBPT) (4.8)

$$\hat{H} = \langle \Phi_0 | \hat{H} | \Phi_0 \rangle + \sum_p t_{pp} \{ p^+ p^- \} + \frac{1}{4} \sum_{pqrs} \langle pq || sr \rangle \{ p^+ q^+ r^- s^- \}$$

$$\underbrace{\hat{H}_0}_{\substack{\epsilon_i = t_{ii}, i \in \text{occ} \\ \epsilon_a = t_{aa}, a \in \text{virt}}} \quad \underbrace{\hat{V} = \hat{V}_N}_{\substack{\text{CHF kanonikus bázis} \\ t_{ai} = 0}}$$

$$\hat{H}_0 | \Phi_0 \rangle = E_{\text{HF}} | \Phi_0 \rangle$$

$$\hat{H}_0 | \Phi_i^a \rangle = (E_{\text{HF}} + \epsilon_a - \epsilon_i) | \Phi_i^a \rangle \quad (= \langle 0 || i | 0 \rangle + t_{aa} a^+ a^- - t_{ii} i^+ i^-) | \Phi_i^a \rangle$$

$$\hat{H}_0 | \Phi_{ij}^{ab} \rangle = (E_{\text{HF}} + \epsilon_a + \epsilon_b - \epsilon_i - \epsilon_j) | \Phi_{ij}^{ab} \rangle$$

$$(\hat{H}_0 - E_0)^{-1} = \hat{R} = \sum_{I \neq 0} \frac{|\Phi_I \rangle \langle \Phi_I|}{E_0 - E_I}$$

$$\hat{R}_0 | \Phi_0 \rangle = E_0 | \Phi_0 \rangle, \quad \hat{H}_0 | \Phi_I \rangle = E_I | \Phi_I \rangle$$

$$\hat{R} = \sum_{i,a} \frac{|\Phi_i^a \rangle \langle \Phi_i^a|}{\epsilon_i - \epsilon_a} + \sum_{\substack{a,b \\ i,j}} \frac{|\Phi_{ij}^{ab} \rangle \langle \Phi_{ij}^{ab}|}{\epsilon_i + \epsilon_j - \epsilon_a - \epsilon_b} + \dots$$

$$\hat{R} = \hat{R}_N = \sum_{a,i} \frac{\{ a^+ i^- \} | \Phi_0 \rangle \langle \Phi_0 | \{ i^+ a^- \}}{\epsilon_i - \epsilon_a} + \sum_{\substack{a,b \\ i,j}} \frac{\{ a^+ b^+ i^- j^- \} | \Phi_0 \rangle \langle \Phi_0 | \{ i^+ j^+ b^- a^- \}}{\epsilon_i + \epsilon_j - \epsilon_a - \epsilon_b}$$

automatikus normalizáció!

ha nincs létező V-ből, akkor nulla.

$$E^{(1)} = \langle \Phi_0 | \hat{V}_N | \Phi_0 \rangle = 0$$

alt. Wick-tétel

$$E^{(2)} = \langle \Phi_0 | \hat{V}_N \hat{R}_N \hat{V}_N | \Phi_0 \rangle =$$

- + ...
- az "i" és az "a" a bit oldalon kontrahált a \hat{V}_N -el!
- az "i" és az "a" indexek definícióját a nevezőt!
- az "a" és az "i" indexek között a \hat{V}_N -on-d indexei is egybe esnek, kontrahálódhatnak

$$\sum_{a,i} \frac{\langle \Phi_0 | \hat{V}_N \{ a^+ i^- \} | \Phi_0 \rangle \langle \Phi_0 | \{ i^+ a^- \} \hat{V}_N | \Phi_0 \rangle}{\epsilon_i - \epsilon_a} + \sum_{\substack{a,b \\ i,j}} \frac{\langle \Phi_0 | \hat{V}_N \{ a^+ b^+ i^- j^- \} | \Phi_0 \rangle \langle \Phi_0 | \{ i^+ j^+ b^- a^- \} \hat{V}_N | \Phi_0 \rangle}{\epsilon_i + \epsilon_j - \epsilon_a - \epsilon_b}$$

$\sum_{\substack{a,b \\ i,j}}$

$$= \langle \Phi_0 | \hat{V}_N \hat{R}_N \hat{V}_N | \Phi_0 \rangle$$

- az \hat{R}_N közvetlenül kontrahált a \hat{V}_N -el között
- az \hat{R}_N nevezője a belső elhárított kontraháció miatt
- \hat{R} "szimmetrikus" az indexekre
- csak a teljesen kontrahált tagok a döntő jelentőségűek!

• Møller-Plesset PT (MP PT)

48/6

$$\hat{H} = \underbrace{\hat{F}_{Ne^-}}_{\hat{H}_0_{MP}} + \hat{V}_{MP}, \text{ ahol } \hat{F}_{Ne^-} \text{ az } N\text{-elektronos}$$

Fock-op: $\hat{F}_{Ne^-} = \sum_{c=1}^{N_e^-} \hat{f}(r_c) =$

$$\sum_{pq} \bar{f}_{pq} p^+ q^-$$

- ez a partikuláris független a betöltött pályák megválasztásától! (az \hat{f} op invariáns a betöltött pályák forgatására)

$$\hat{F}_{\uparrow} = \sum_p \bar{f}_{pp} p^+ p^- = \sum_p \bar{f}_{pp} p^+ p^- + \sum_p \bar{f}_{pp} \{p^+ p^-\}$$

MF kanonikus bázisban

$$= \sum_{i \in occ} \bar{\epsilon}_i + \sum_p \bar{f}_{pp} \{p^+ p^-\}$$

$$\left. \begin{aligned} H_{0MP} - \sum_i \bar{\epsilon}_i &= H_{0MBPT} - \langle 0 | \hat{H} | 0 \rangle \\ V_{MP} + \sum_i \bar{\epsilon}_i &= V_{MBPT} + \langle 0 | \hat{H} | 0 \rangle \end{aligned} \right\} \oplus = \hat{H}$$

$$\hat{V}_{MP} = \hat{V}_{MBPT} + \langle 0 | \hat{H} | 0 \rangle - \sum_i \bar{\epsilon}_i$$

$$E_{MP}^{(0)} = \langle 0 | \hat{F} | 0 \rangle = \sum_i \bar{\epsilon}_i; \quad E_{MBPT}^{(0)} = \langle 0 | \hat{H} | 0 \rangle$$

$$E_{MBPT}^{(1)} = \langle 0 | \hat{V}_{MP} | 0 \rangle = \langle 0 | \hat{H} | 0 \rangle - \sum_i \bar{\epsilon}_i; \quad E_{MBPT}^{(1)} = 0$$

$$E_{MP}^{(0)} + E_{MP}^{(1)} = E_{MBPT}^{(0)} + E_{MBPT}^{(1)}$$

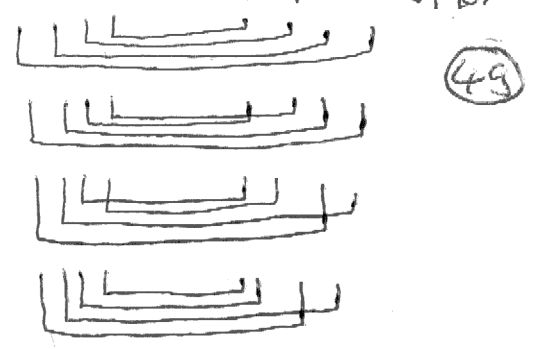
$$E_{MP}^{(2)} = E_{MBPT}^{(2)}$$

$$E_{MP}^{(3)} = E_{MBPT}^{(3)}$$

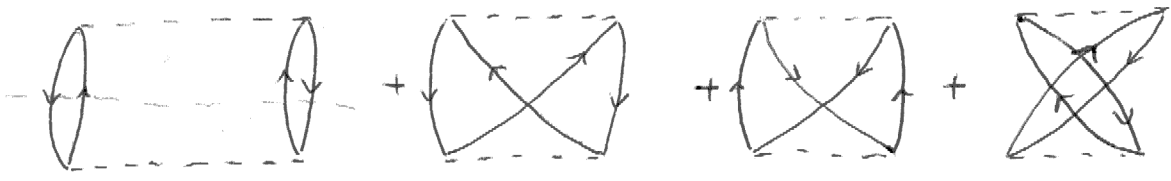
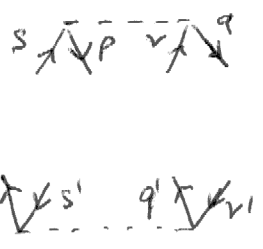
- kanonikus bázisban az MP és MBPT formalizmus gyakorlatilag u.a.

$\langle \Phi_0 | V R V | \Phi_0 \rangle$

$$E^{(2)} = \frac{1}{16} \sum_{pqrs} \sum_{p'q'r's'} \langle pq || sr \rangle \langle p'q' || s'r' \rangle \langle \Phi_0 | \{ p^+ q^+ r^- s^- \} \hat{R} \{ p'^+ q'^+ r'^- s'^- \} | \Phi_0 \rangle$$



Csak azok a kontrakciók nem nullák, amelyeknél v, s, p és $q \in \text{occ}$, és q', p', r és $s \in \text{virt}$.



- 4 azonos értékű kontrakciós séma elég 1-et megtartani és a "kiegészítéssel" egy szorzóval

- figyelembe venni a többit.
 \Downarrow maximálisan a hurok számát!

$$E^{(2)} = \frac{1}{4} \sum_{abij} \frac{\langle ij || ab \rangle \langle ab || ij \rangle}{\epsilon_i + \epsilon_j - \epsilon_a - \epsilon_b}$$

- Diagram szabályok

- 1, \uparrow virt. \downarrow occ.
- 2, $\langle LO RO || LI RI \rangle$
- 3, összegzés a (nem nyílt) vonalokra
- 4, előjel: $(-1)^{h+l}$ h: betöltött vonalok száma, l: hurok száma
- 5, $(\frac{1}{2})^n$ szorzó, ahol n az ekvivalens vonalok száma (azonos vertexből indul és azonos vertexbe érkező virt-virt v. occ-occ párok)
- 6, nevező: $\begin{array}{c} a \\ \uparrow \\ - \\ \downarrow \\ i \end{array} \begin{array}{c} | \\ - \\ | \\ j \end{array} \rightarrow \frac{1}{\epsilon_i - \epsilon_a}$ $\begin{array}{c} a \\ \uparrow \\ - \\ \downarrow \\ i \end{array} \begin{array}{c} b \\ \uparrow \\ - \\ \downarrow \\ j \end{array} \rightarrow \frac{1}{\epsilon_i + \epsilon_j - \epsilon_a - \epsilon_b}$
- 7, ekvivalens vertexek: $\frac{1}{2}$ -es szorzó
- 8, az ekvivalens nyílt vonalok permutációit is figyelembe kell venni!

- A diagram szabályozó "igazolása"

- sorozájtörv:

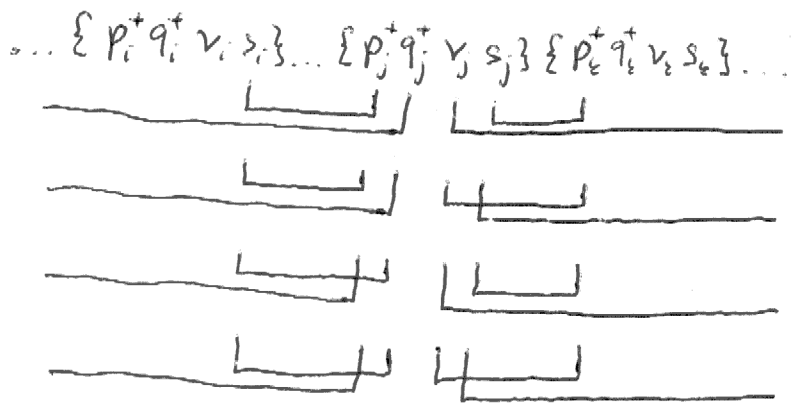
$$\dots \frac{1}{4} \dots \frac{1}{4} \frac{1}{4} \dots \langle p_i q_i || s_i v_i \rangle \dots \langle p_j q_j || s_j v_j \rangle \langle p_k q_k || s_k v_k \rangle \dots \{ p_i^+ q_i^+ v_i s_i \} \dots \{ p_j^+ q_j^+ v_j s_j \} \{ p_k^+ q_k^+ v_k s_k \} \dots$$

i. j. k.

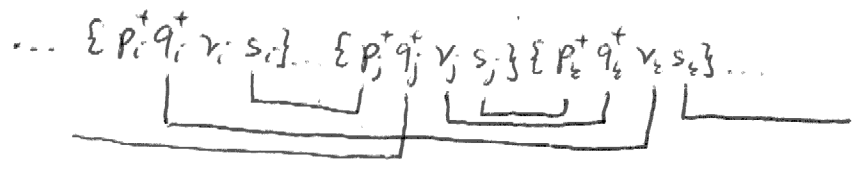
Figyeljél a j-edik integrálhoz tartozó kontrakciókat!

- ha a kiemelt integrálban nincs ekvivalens kontrakciópár 4 db azonos cítelű kontrakció sémát találunk:

a négy db kontr. sémát 1 db diagram reprezentálja => a 4-es sorozó "köttyű" a j-edik 1/4-es faktort



- ha a j-edik és k-adik integrált ekvivalens kontrakciópár köti össze:



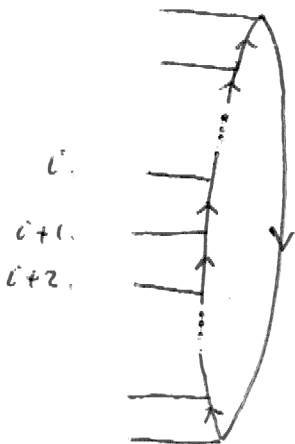
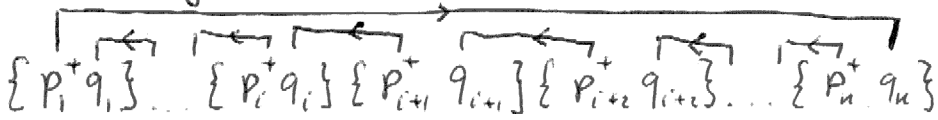
a j-edik és k-adik integrálhoz tartozó kontrakció "lábart" felcserélgetve csak 8 db kontrakció sémát kapunk, mert az $v_j \leftrightarrow s_j, p_k \leftrightarrow q_k$ szimultán cseré nem ad új tagot. =>

az $\frac{1}{4} \frac{1}{4}$ faktort is figyelembe véve egy $\frac{1}{2}$ -es sorozót kapunk. =>

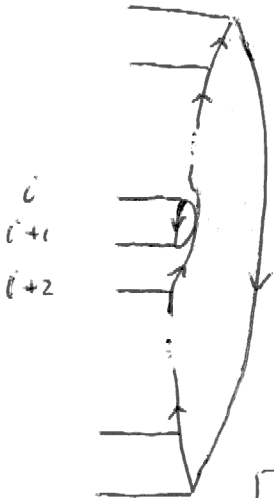
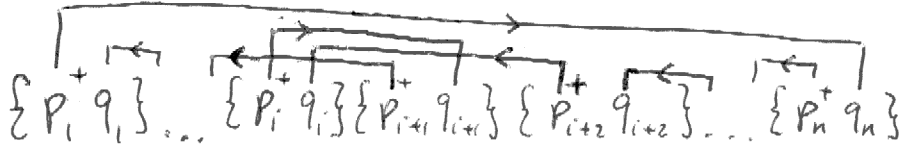
Ha n db ekvivalens kontrakció van, $(\frac{1}{2})^n$ sorozót kapunk.

- az előjel:

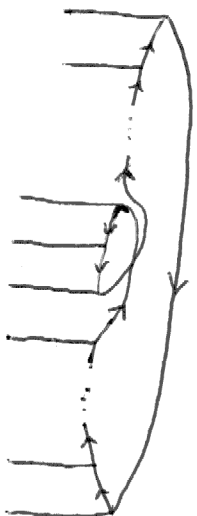
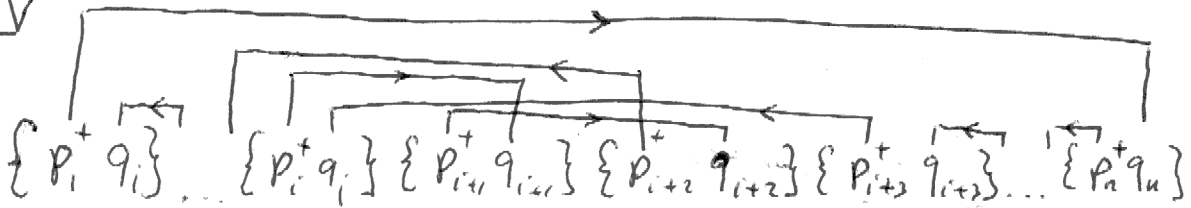
(5)



1 kurot, 1 occ. ($l=1, h=1$)
pozitív előjel



1 kurot, 2 occ. ($l=1, h=2$)
negatív előjel



1 kurot, 3 occ. ($l=1, h=3$)
pozitív előjel

stb... $\Rightarrow (-1)^{h+l}$

- MBPT(2)

$$E^{(2)} = \text{diagram} \sim N_{occ}^2 N_{virt}^2 \sim n^4$$

- az MBPT(2) méretköziszteus, mert az egymástól elszeparált A és B alrendszerben lokalizált integrálók

$$E^{(2)} = \text{diagram A} + \text{diagram B}$$

Az MBPT(2) energia összefüggő diagramból számolható (connected) \Rightarrow méretköziszteus

- MBPT(3)

diagram, mert $\uparrow \dots \uparrow = \downarrow \dots \downarrow$

$$E^{(3)} = \text{diagram 1} + \text{diagram 2} + \text{diagram 3} \quad (E^{(3)} = 0 !)$$

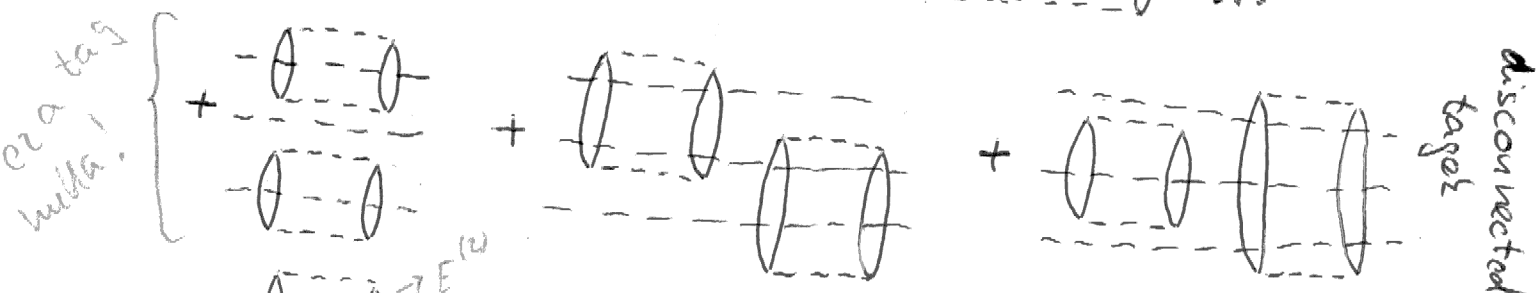
az első a legdrágább $\sim N_{occ}^2 N_{virt}^4 \sim n^6$

az MBPT(3) energia is connected \Rightarrow szintén méretköziszteus

- MBPT(4)

$$E^{(4)} = \text{diagram 1} + \text{diagram 2} + \text{diagram 3} + \dots$$

connected tagok



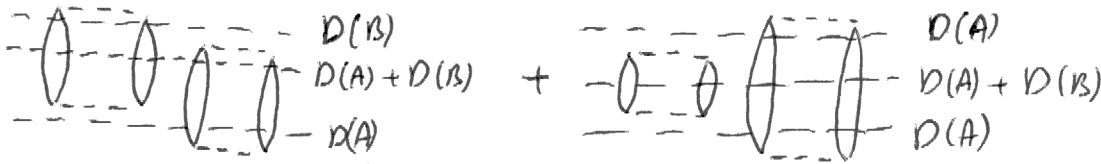
← renormalizációs tag

$$= \langle \Phi_0 | \hat{V}_N \hat{R} \hat{V}_N \hat{R} \hat{V}_N \hat{R} \hat{V}_N | \Phi_0 \rangle - E^{(2)} \langle \Phi_0 | \hat{V}_N \hat{R} \hat{R} \hat{V}_N | \Phi_0 \rangle$$

- Az első tag disconnected járulékaikat összege kiejti a renormalizációs tagot!

Koncentráljunk a nemzérőre!

pl. $D(A) = \epsilon_a - \epsilon_i$,
 $D(B) = \epsilon_b + \epsilon_c - \epsilon_j - \epsilon_k$



$$\sim \frac{1}{D(A) D(B) (D(A)+D(B))} + \frac{1}{D(A) D(A) (D(A)+D(B))} = \frac{1}{D(A)^2 D(B)}$$

ez épp kiejti a renormalizációs tagot!

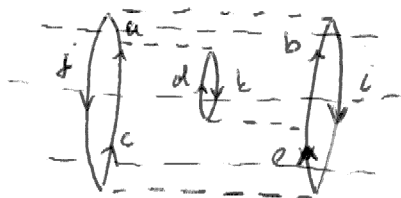
$E^{(4)} = \langle \Phi_0 | \hat{V}_N \hat{R} \hat{V}_N \hat{R} \hat{V}_N \hat{R} \hat{V}_N | \Phi_0 \rangle_c \Rightarrow$ az MBPT (4) is mellettkészítés

linked cluster tétel: az MBPT minden rendben connected

$E^{(n)} = \langle \Phi_0 | \hat{V}_N \hat{R} \hat{V}_N \hat{R} \dots \hat{R} \hat{V}_N | \Phi_0 \rangle_c$ (n db \hat{V}_N)

- intermedierek segítségével az $E^{(4)}$ n^7 -el számolható

pl.:



$$= \frac{1}{2} \sum_{i,j,k} \sum_{c,d,b} \frac{U_{j i k}^{c b d} U_{i j k}^{b c d}}{\epsilon_i + \epsilon_j + \epsilon_k - \epsilon_b - \epsilon_c - \epsilon_d}, \text{ ahol}$$

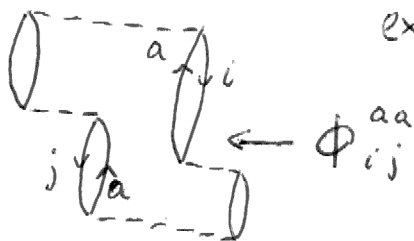
$\sim N_{occ}^3 N_{virt}^5$

$$U_{i j k}^{b c d} = \dots$$

$$U_{i j k}^{b c d} = \sum_{e,v,i,t} \frac{\langle d b l l e \rangle \langle c e l l i j \rangle}{\epsilon_i + \epsilon_j - \epsilon_a - \epsilon_b}$$

$\sim N_{occ}^3 N_{virt}^4$

- az MBPT(4) diagramjaiban megjelennek nem fizikai járulékok: exclusion principle violating terms (EPV)



- be lehet látni, hogy ezek kiejtik egymást. Ezt a tagot a

